

BaO-(Nd, Sm)₂O₃-TiO₂계 세라믹스의 상관계 및 마이크로파 유전특성

김희도 · 김진호 · 조상희

경북대학교 공과대학 무기재료공학과

(1994년 8월 17일 접수)

Phase Relation and Microwave Dielectric Properties of BaO-(Nd, Sm)₂O₃-TiO₂ Ceramic System

Hee-Do Kim, Jin-Ho Kim and Sang-Hee Cho

Department of Inorganic Materials Engineering, Kyungpook National University

(Received August 17, 1994)

요약

BaO·(Nd_{1-x}Sm_x)₂O₃·nTiO₂(n=4, 5)계 세라믹스의 상관계와 마이크로파 유전특성에 관해 조사하였다. n이 5인 계(1:1:5)에서는 X≤0.7의 조성범위에서 Ba₂Ti₂O₂₀과 TiO₂가, X=1.0일 경우는 Ba₂Ti₂O₂₀과 Sm₂Ti₂O₇이 이차상으로서 사방정의 미세입자 사이에 균일하게 분포된 미세구조를 나타내었다. 한편, n=4인 계(1:1:4)에서는 Nd/Sm비에 무관하게 사방정의 결정립만으로 구성된 치밀한 미세구조가 얻어졌다. 이를 두 사방정상의 격자상수는 Nd/Sm비간 동일한 경우에도 서로 상이하여, 그 조성이 각각 4BaO·5(Nd_{1-x}Sm_x)₂O₃·18TiO₂(n=5) 및 BaO·(Nd_{1-x}Sm_x)₂O₃·4TiO₂(n=4)인 동일구조의 안정상으로 추정되었다. 따라서 n=5인 계는 4BaO·5(Nd_{1-x}Sm_x)₂O₃·18TiO₂와 진술한 이차상들이 삼상 삼각형을 이루는 영역내에 위치하는 것으로 판단되었다. BaO·(Nd_{1-x}Sm_x)₂O₃·5TiO₂의 Sm 함량을 조절함으로써 효과적인 마이크로파 유전특성(~4 GHz)의 제어가 가능하였다. 즉 X가 0에서 0.7로 증가함에 따라 무부하 Q(Q₀)는 2,600 전후의 일정한 값을 가지면서 비유전율과 공진주파수 온도계수는 각각 82에서 65로 그리고 91(ppm/°C)에서 -19(ppm/°C)로 연속적으로 감소하였다.

ABSTRACT

Phase relation and microwave dielectric properties of the system BaO·(Nd_{1-x}Sm_x)₂O₃·nTiO₂ (n=4, 5) were studied. With n=5 (1:1:5), Ba₂Ti₂O₂₀ and TiO₂ formed in case of X≤0.7, and Ba₂Ti₂O₂₀ and Sm₂Ti₂O₇ formed at X=1.0 as the second phases dispersed in fine-grained orthorhombic matrix phase. With n=4 (1:1:4), on the contrary, only fine grains of an ortho-rhombic phase were observed irrespective of Nd/Sm ratio. The compositions of these two stable orthorhombic phases having distinct lattice constants even with the same Nd/Sm ratio were estimated as 4BaO·5(Nd_{1-x}Sm_x)₂O₃·18TiO₂ and BaO·(Nd_{1-x}Sm_x)₂O₃·4TiO₂ with n=5 and n=4 in the system BaO·(Nd_{1-x}Sm_x)₂O₃·nTiO₂, respectively. Consequently the composition BaO·(Nd_{1-x}Sm_x)₂O₃·5TiO₂ lies in the compatible triangle of 4BaO·5(Nd_{1-x}Sm_x)₂O₃·18TiO₂ and the second phases mentioned above. The microwave dielectric properties (~4 GHz) of BaO·(Nd_{1-x}Sm_x)₂O₃·5TiO₂ can be controlled effectively by adjusting Sm content : with increasing X from 0 to 0.7, both dielectric constant and the temperature coefficient of resonant frequency decreased monotonically from 82 to 65 and from 91 (ppm/°C) to -19 (ppm/°C), respectively, while unloaded Q(Q₀) remained constant at about 2,600.

1. 서 론

몰비가 1:1:4~5인 BaO-Ln₂O₃-TiO₂(Ln=La, Nd, Sm)계 세라믹스는 마이크로파 대역에서 고유전율($\epsilon_r > 70$), 저손실($\tan\delta < 10^{-3}$) 그리고 수 ppm 이하로의 공진

주파수 온도계수의 조절이 가능함으로써 위성통신, 이동통신 등 각종 마이크로파 통신용의 기기에 내장되는 공진기 및 필터의 소재로 널리 쓰이고 있다. 이를 계에 관하여 BaO의 일부를 PbO¹⁾, SrO²⁾ 등으로 치환하거나 Ln 자리에 Nd-Sm³⁾, La-Sm⁴⁾을 복합첨가함으로써 그

유전특성의 조절을 시도한 연구사례가 보고되어 있다. 한편 동일계에서 1:1:4~5 조성에서의 기지상(matrix phase)과 이차상(secondary phase)의 생성 및 이들의 상관계에 관하여는 상반된 견해가 보고되어 있다.

즉 계의 조성이 $\text{BaO} \cdot \text{Ln}_2\text{O}_3 \cdot 5\text{TiO}_2$ ($\text{Ln} = \text{La}, \text{Pr}, \text{Nd}, \text{Sm}$)일 경우 관찰되는 기지상의 조성에 관하여 Kolar 등⁵⁾은 X선 회절분석을 근거로 결정계가 사방정이고 가능한 공간군이 Pbam 또는 Pba_2 인 1:1:5 ($\text{Ln} = \text{Nd}$)의 단일상이 존재한다고 하였고, 이후 Mercurio 등⁶⁾은 X선 회절분석의 결과 $\text{BaO} \cdot (\text{Nd}_{1-x}\text{Sm}_x)_2\text{O}_3 \cdot 5\text{TiO}_2$ 계에서는 전조성($0 \leq X \leq 1$)에 걸쳐 단상의 기지상이 생성된다고 보고하였다. 그러나 이들은 이차상의 생성여부를 미세구조상에서 확인하지 않았다. Nishigaki 등⁷⁾은 조성이 ($\text{Ba}, \text{Sr})\text{O} \cdot \text{Sm}_2\text{O}_3 \cdot 4.7\text{TiO}_2$ 인 계에 관한 상관계를 조사한 결과 이차상으로 TiO_2 와 $\text{Ba}_2\text{Ti}_9\text{O}_{20}$ 이 생성됨을 확인하였는데, 이는 1:1:5 조성의 기지상의 화학비양론성에 기인한 것이라 하였다.

이와는 달리 1:1:5 조성의 단일상의 존재를 부정하는 연구사례가 발표되어 있다. Jaakola 등⁸⁾은 조성을 $\text{BaO} \cdot \text{Nd}_2\text{O}_3 \cdot 5\text{TiO}_2$ 로 한 계에서 생성되는 기지상의 공간군은 Kolar 등이 제시한 것과 동일한 Pba_2 이나 그 조성은 1:1:5가 아니라 4:5:18이며 TiO_2 와 BaTi_4O_9 에 근접한 조성의 화합물이 이차상으로 생성된 것은 이 때문이라 하였다. Takahashi 등⁹⁾은 이와 같은 의견의 불일치를 산화물 혼합법이 갖는 고체반응의 불균일성에 기인한 것이라 판단하여 부분공침법으로 합성한 조성이 $\text{BaO} \cdot \text{Ln}_2\text{O}_3 \cdot 4 \sim 5\text{TiO}_2$ ($\text{Ln} = \text{Nd}, \text{Sm}$)인 계의 상관계를 조사하였다. 그 결과 이 조성범위에서 존재하는 안정상은 조성이 1:1:4이며 그 결정구조는 Kolar 등이 보고한 1:1:5의 그것과 동일하다 하였다. 따라서 1:1:5 조성의 계는 기지상의 조성이 1:1:4이며 $\text{Ln} = \text{Sm}$ 일 때에는 TiO_2 만이, $\text{Ln} = \text{Nd}$ 일 때에는 $\text{Ba}_2\text{Ti}_9\text{O}_{20}$ 과 $\text{Sm}_2\text{Ti}_2\text{O}_7$ 이 이차상으로 석출된다고 하였다. 그러나 이러한 상관계는 Nishigaki 등이나 Jaakola 등의 관찰결과를 설명할 수 없다. Fig. 1에 각각 Kolar 등⁵⁾((a))과 Takahashi 등⁹⁾((b), (c))에 의해 제안된 $\text{BaO} \cdot \text{Ln}_2\text{O}_3 \cdot \text{TiO}_2$ ($\text{Ln} = \text{Nd}, \text{Sm}$) 3성분계의 부분적인 상온 상평형도를 나타내었다.

본 연구에서는 이러한 점에 착안하여 조성이 1:1:4 및 1:1:5인 $\text{BaO} \cdot \text{Ln}_2\text{O}_3 \cdot \text{TiO}_2$ 계의 Ln 자리에 Nd과 Sm을 단독 또는 복합 첨가하여 각각에서의 고체반응의 경로를 조사하고 소결체의 상분포와 미세구조를 관찰함으로써 그 상관계를 밝히고자 하였다. 또한 이러한 상관계가 계의 마이크로파 유전특성에 미치는 영향을 조사하였다.

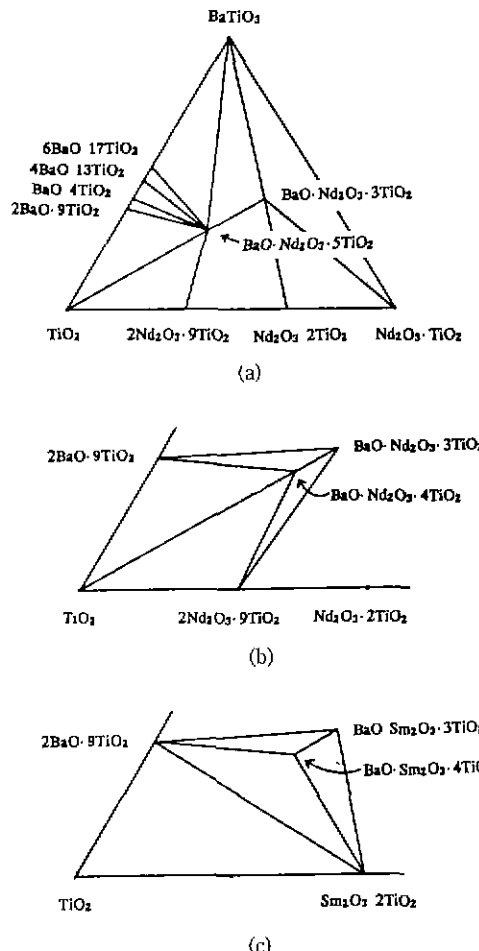


Fig. 1. Partial subsolidus phase equilibria in ternary systems $\text{BaO} \cdot \text{Ln}_2\text{O}_3 \cdot \text{TiO}_2$ ($\text{Ln} = \text{Nd}, \text{Sm}$) proposed by (a) Kolar et al.⁵⁾ ($\text{Ln} = \text{Nd}$), and (b), (c) Takahashi et al.⁹⁾ ((b) $\text{Ln} = \text{Nd}$, (c) $\text{Ln} = \text{Sm}$), respectively.

2. 실험방법

출발원료로 고순도(>99.9%)의 BaCO_3 (Wako Pure Chemical Co.), Nd_2O_3 (Shin-Etsu Chemical Co.), Sm_2O_3 (Shin-Etsu Chemical Co.) 및 TiO_2 (Rare Metallic Co.)를 사용하였다. 시편의 제조공정 및 특성평가의 흐름도를 Fig. 2에 나타내었다. 조성이 각각 $\text{BaO} \cdot (\text{Nd}_{1-x}\text{Sm}_x)_2\text{O}_3 \cdot 4\text{TiO}_2$ 및 $\text{BaO} \cdot (\text{Nd}_{1-x}\text{Sm}_x)_2\text{O}_3 \cdot 5\text{TiO}_2$ 인 계에서 $X = 0.0, 0.3, 0.5, 0.7$ 및 1.0 이 되게 원료분체를 칭량한 후 5 mmΦ의 YTZ볼과 함께 폴리에틸렌 용기에 넣고 ethanol을 매체로 12시간 습식혼합하였다. 슬러리를 전조하여 고

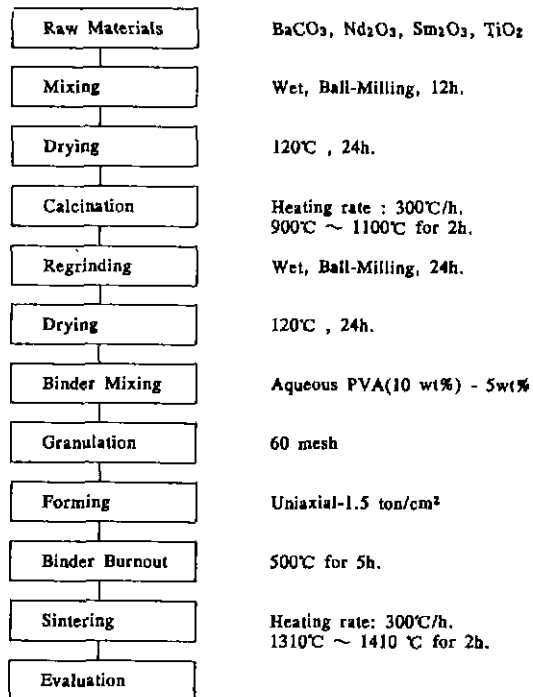


Fig. 2. Flow chart of experimental procedure.

순도의 Al₂O₃ 도가니에 넣고 900~1150°C에서 2시간 동안 하소하였다. 하소분체를 혼합 때와 동일한 조건으로 24시간 동안 습식 재분쇄하여 건조한 후 PVA 수용액을 첨가하여 체조립하였다. 과립을 1.5 ton/cm²의 압력으로 가압하여 15 mmΦ×8 mmht의 원주형으로 성형하였다. 소결은 공기중에서 300°C/h의 속도로 올온하여 1310~1410°C에서 2시간 유지한 후 로냉하는 방법으로 하였다. 하소분체와 소결체의 상관계는 분말 X선 회절법으로 조사하였다. 사방정인 기지상의 격자상수는 α-Al₂O₃(> 99.99%)를 외부 표준시료로 하여 정밀측정한 20°≤2θ<50°의 일련의 회절피크들로부터 얻어진 면간격 d_{hkl}들을 Bradley-Jay의 외삽함수에 대입하여 Cohen의 최소가승법으로 계산하였다⁹. 소결체의 밀도는 아르키메데스법으로, 기공률은 연마면의 SEM 화상에서의 point counting법으로 측정하였다. 소결체 미세구조상의 상분포는 SEM(BEI), EDXA 및 EPMA로 조사하였다.

마이크로파 유전특성은 원통형 소결시편을 평행도체판에 삽입하여 TE₀₁₁ 모우드의 공진특성곡선을 얻어 비유전율(ϵ_r)과 무부하 품질계수(Q_0)를 계산하는 Hakki & Colemann의 방법¹⁰을 이용하여 구하였다. 이때 항온조를 이용하여 -20~80°C에서 공진주파수 온도계수(TC_i)도 측정하였는데 공진주파수는 4 GHz 전후였다.

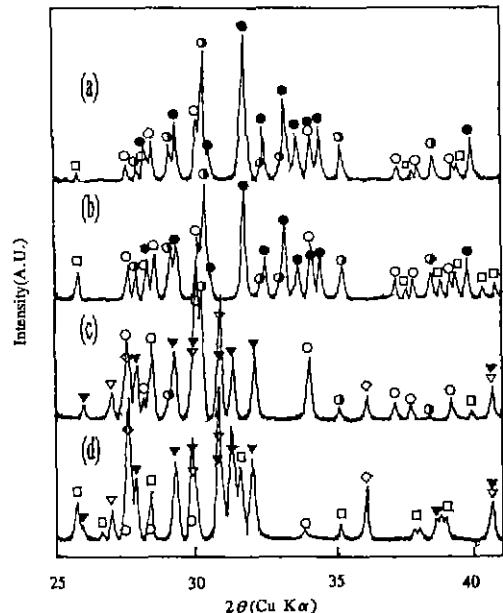


Fig. 3. XRD patterns of the system BaO·(Nd_{1-x}Sm_x)₂O₃·5TiO₂ (X=0.7) calcined at (a) 1150°C, (b) 1100°C, (c) 1000°C and (d) 900°C for 2 h, respectively.

●: Ba-Nd-Sm-Ti-O orthorhombic phase, ○: (Nd_{1-x}Sm_x)₂Ti₂O₇, □: BaTi₄O₉, ◇: TiO₂ (rutile), ▼: Sm₂O₃, ▽: Nd₂O₃, □: unidentified phase.

3. 결과 및 고찰

3.1. 상형성과 치밀화

Fig. 3에 BaO·(Nd_{0.3}Sm_{0.7})₂O₃·5TiO₂(1:1:5) 조성의 혼합분체를 900~1150°C로 2시간 열처리한 후 XRD로 생성상을 조사한 결과를 나타내었다. 900°C 하소에서 BaTi₄O₉이 생성되며 다량의 Nd₂O₃, Sm₂O₃ 및 TiO₂가 미반응인 채로 남아 있다. 이를 미반응상은 1000°C에서 (Nd_{1-x}Sm_x)₂Ti₂O₇을 형성한다. 1100°C에서는 이를 중간상의 반응에 의한 것으로 추정되는 사방정의 BaO-(Nd_{1-x}Sm_x)₂O₃-TiO₂ 화합물이 생성되며, 이 반응은 1150°C에서는 더욱 촉진되어 중간상 (Nd_{1-x}Sm_x)₂Ti₂O₇과 BaTi₄O₉이 현저히 감소함을 볼 수 있다.

(Nd_{1-x}Sm_x)₂Ti₂O₇의 조성에 따른 결정구조의 변화를 XRD로 조사한 Takahashi 등¹⁰에 의하면 X<0.8에서는 단사정이, X≥0.8에서는 cubic pyrochlore가 안정상으로 존재한다. 본 실험에서 중간상으로 생성된 (Nd_{1-x}Sm_x)₂Ti₂O₇은 그 회절패턴이 Takahashi의 X=0.9의 결과와 일치하므로 원료조성에 비해 Sm-rich인 cubic pyroch-

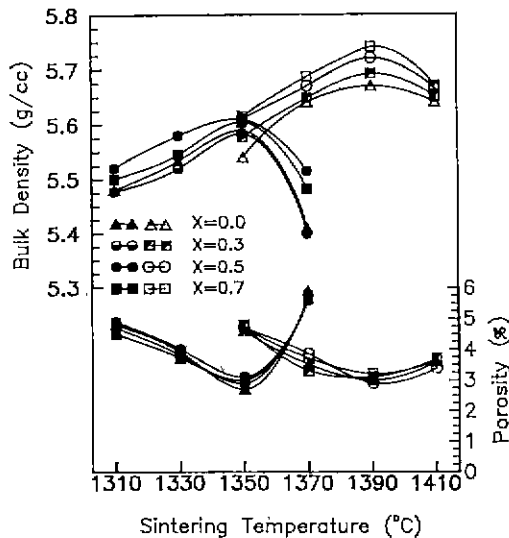


Fig. 4. Changes in bulk density and porosity with sintering temperature and composition of $\text{BaO} \cdot (\text{Nd}_{1-x}\text{Sm}_x)_2\text{O}_3 \cdot 5\text{TiO}_2$ in molar ratio of $\blacktriangle \bullet \blacksquare \blacksquare$ 1:1:5 and $\triangle \square \circ \square$ 1:1:4.

lore인 것으로 판단된다. 한편 $\text{BaO} \cdot (\text{Nd}_{0.3}\text{Sm}_{0.7})_2\text{O}_3 \cdot 4\text{TiO}_2$ (1:1:4) 조성의 혼합분체에서의 반응을 조사한 결과 1:1:5 조성보다 낮은 900°C에서 $(\text{Nd}_{1-x}\text{Sm}_x)_2\text{Ti}_2\text{O}_7$ 의 생성이 확인되며 1100°C에서 $\text{Ba}_4\text{Ti}_5\text{O}_{30}$ 이 중간상으로 생성됨을 제외하면 1:1:5와 경로가 거의 동일하였다.

Fig. 4에 하소온도를 1100°C로 한 각 조성의 시편의 소결온도에 따른 치밀화 거동을 나타내었다. 1:1:5 조성의 경우 1350°C까지 치밀화가 진행되며 그 이상의 온도에서는 급격한 밀도감소를 나타내었다. 1370°C 소결시편에서는 Sm/Nd비에 관계없이 부분적인 액상의 형성에 의한 것으로 판단되는 뒤틀림과 부분융융이 일어났다. 1:1:4 조성에서는 1390°C까지 치밀화가 진행되며 그 이상의 온도에서는 완만한 밀도감소를 나타내었다. 표면조직을 SEM으로 관찰한 결과 밀도감소를 나타낸 시편에서는 결정립의 막대형 성장 즉 이방성이 현저히 증가하였고 이와 더불어 입체기공이 성장함을 볼 수 있었다. 이로부터 1:1:5와 1:1:4 조성에서의 적정 소결온도를 각각 1350°C와 1390°C로 정하였으며, 그 이상의 온도로 소결시의 밀도감소는 결정립의 이방성 성장에 따른 결정립간의 기공성장에 의한 것으로 추론하였다.

3.2. 미세구조와 상관계

Fig. 5에 1350°C로 2시간 소결한 조성 $\text{BaO} \cdot (\text{Nd}_{1-x}\text{Sm}_x)_2\text{O}_3 \cdot 5\text{TiO}_2$

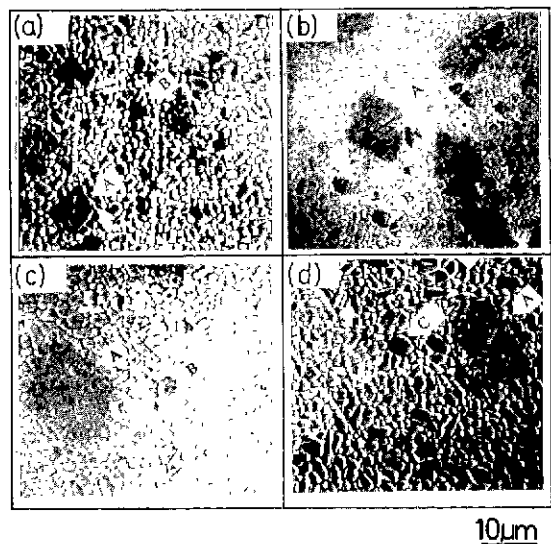


Fig. 5. SEM photographs of $\text{BaO} \cdot (\text{Nd}_{1-x}\text{Sm}_x)_2\text{O}_3 \cdot 5\text{TiO}_2$ sintered at 1350°C for 2 h. (a) X=0, (b) X=0.3, (c) X=0.7, (d) X=1.0 Letters A, B and C in the photographs mean distinct secondary phases.

$\text{O}_3 \cdot 5\text{TiO}_2$ 인 소결체의 미세구조를 나타내었다. Nd/Sm비에 관계없이 모든 소결체가 막대형의 이방성을 띤 2~3 µm 크기의 결정립들로 구성된 치밀한 기지(matrix)내에 10 µm 전후의 직진 입자들(A상)과 5 µm 전후의 구형입자들(B 또는 C상)이 산재하는 미세구조를 가짐을 알 수 있다. 기지상은 $\text{BaO} \cdot (\text{Nd}, \text{Sm})_2\text{O}_3 \cdot \text{TiO}_2$ 계 사방정 화합물로 판단되며, 여기에 분산 분포된 보다 큰 입자들은 그 형상으로 보아 이차상으로 여겨진다.

Fig. 6에는 Fig. 5의 사진상에 표시된 A, B 및 C상의 성분을 EDXA로 점분석한 결과를 나타내었다. 시편의 조성(Nd/Sm비)에 관계없이 각진 큰 입자들(A상)로부터는 Ba와 Ti의 특성 X선만이 검출되어 이 상이 BaO 와 TiO_2 사이의 화합물을 알 수 있었다. 한편 5 µm 전후의 구형입자들(B상)의 성분은 시편의 조성에 따라 상이하여 $X \leq 0.7$ 인 경우 TiO_2 , $X = 1.0$ 즉 조성이 $\text{BaO} \cdot \text{Sm}_2\text{O}_3 \cdot 5\text{TiO}_2$ 인 경우(C상)는 Ti와 Sm의 특성 X선이 검출되었다.

Fig. 7에 1350°C로 2시간 소결한 $\text{BaO} \cdot (\text{Nd}_{1-x}\text{Sm}_x)_2\text{O}_3 \cdot 5\text{TiO}_2$ 조성의 시편을 분쇄하여 XRD 회절패턴을 조사한 결과를 나타내었다. 전 조성영역에 걸쳐서 Kolar 등⁵⁾이 보고한 결과 동일한 사방정의 회절패턴이 주를 이루을 수 있다. 한편 Fig. 5와 6의 결과로부터 그 존재가 인정되는 TiO_2 의 경우 JCPDS(NO.21-1276) 파일상의

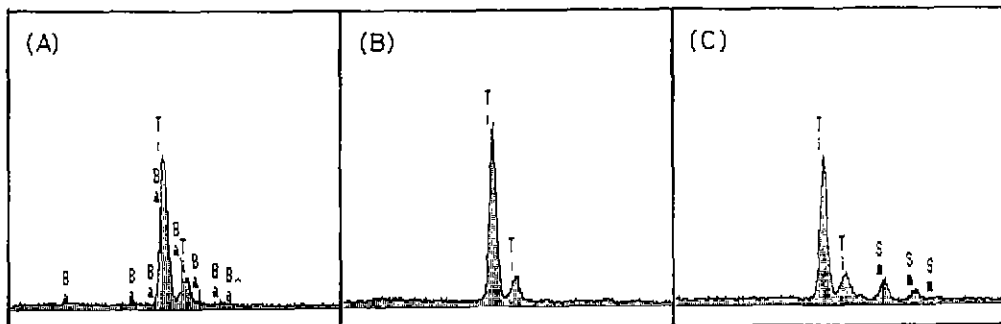
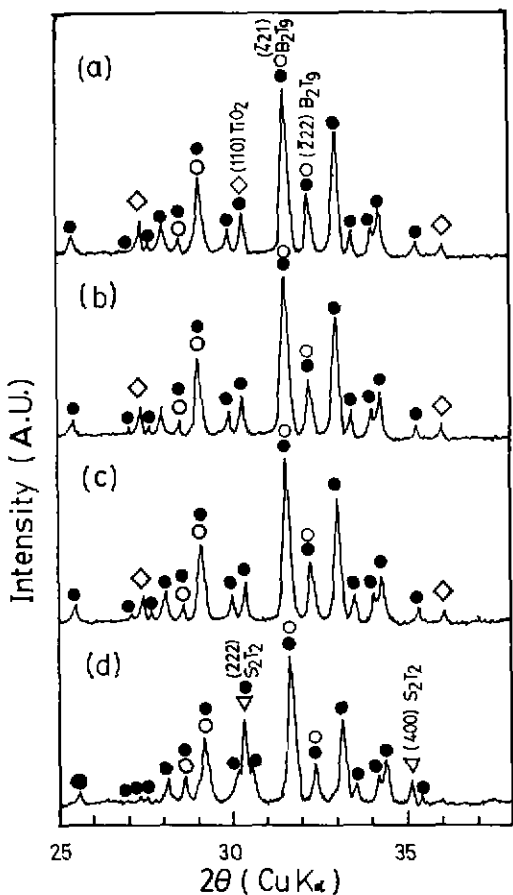


Fig. 6. EDX spectra of phases (A) A, (B) B and (C) C in Fig. 5 by point analysis.

Fig. 7. Powder XRD patterns of BaO·(Nd_{1-x}Sm_x)₂O₃·5TiO₂ (a) X=0, (b) X=0.3, (c) X=0.7 and (d) X=1.0, sintered at 1350°C for 2 h.
●: 4BaO·5(Nd_{1-x}Sm_x)₂O₃·18TiO₂, ○: Ba₂Ti₉O₂₀,
◇: Ti₂O₅ (rutile), ▽: Sm₂Ti₂O₇

(110)[d=3.247, I/I₀=100]와 (101)[d=2.487, I/I₀=50]의 주회절피크가 각각 Takahashi 등⁷⁾이 제시한 BaNd₂Ti₄

O₁₂의 (021)[d=3.254, I/I₀=4]과 (431)[d=2.50, I/I₀=3]의 그것과 매우 근접하여 분리 판별되지 않으나, 이들의 상대강도가 보고치에 비해 수배 크므로 TiO₂의 회절피크가 중첩되어 있음을 알 수 있었다. 또 다른 이차상인 BaO-TiO₂ 화합물의 경우에도 BaO-TiO₂간 상온 안정상 화합물들의 JCPDS 파일상의 특정회절피크들과 대조한 결과(421)[d=3.122, I/I₀=100]과 (222)[d=3.053, I/I₀=90]의 주회절피크가 각각 기지상의 (221)과 (411)의 그것과 중첩되나 생성상은 Ba₂Ti₉O₂₀(JCPDS NO. 35-51)인 것으로 판명되었다. 이러한 상관계는 X≤0.7에서는 동일 하나 X=1.0 즉 조성이 BaO·Sm₂O₃·5TiO₂인 경우는 상이하였다. X=1.0에서는 Sm₂Ti₂O₇(JCPDS NO. 16-400)의 (222), (400)의 것으로 보이는 회절피크가 관측되어 Fig. 6의 성분분석 결과와 일치하였다.

이상의 상분석 결과는 BaO-Nd₂O₃·5TiO₂가 단상의 화합물이라는 Kolar⁵⁾ 등의 보고 및 BaO·(Nd_{1-x}Sm_x)₂O₃·5TiO₂가 전 조성영역에서 단상의 화합물을 형성한다는 Mercurio 등³⁾의 보고와는 상반된 것이며, BaO·Ln₂O₃·5TiO₂(Ln=Nd, Sm)계에서 사방정의 주상과 더불어 이차상으로 Ln=Nd의 경우 TiO₂와 BaTi₁O₉(또는 Ba₂Ti₉O₂₀)이 생성된다는 Jaakola 등⁶⁾과 Yamada 등¹¹⁾의 보고 및 Ln=Sm일 경우 Ba₂Ti₉O₂₀와 Sm₂Ti₂O₇이 생성된다는 Takahashi 등⁷⁾의 보고와는 일치하는 것이다. 한편 주상인 기지상의 BaO : Ln₂O₃ : TiO₂의 몰비에 관하여는 EPMA 정량분석을 토대로 Jaakola 등⁶⁾은 4 : 5 : 18(1 : 1.25 : 4.5)로, Yamada 등¹¹⁾은 1 : 1.25 : 4.6으로 매우 근사한 조성을 제안하였으며 이들은 이러한 결과를 Kolar 등⁵⁾이 제시한 1 : 1 : 5 조성의 사방정이 갖는 화학 비양론성에 기인한 것으로 귀결하고 있다. Nishigaki 등²⁾은 조성이 BaO·Sm₂O₃·4.7TiO₂인 계의 Ba 자리에 Sr을 부분치환한 소결체에서 동일한 결과를 얻어 주상의 조성을 (Ba, Sr)O·Sm₂O₃·5(Ti_{1-y}Sm_y)O_{2-(y/2)}와 같아 표현하였다. 그러나,

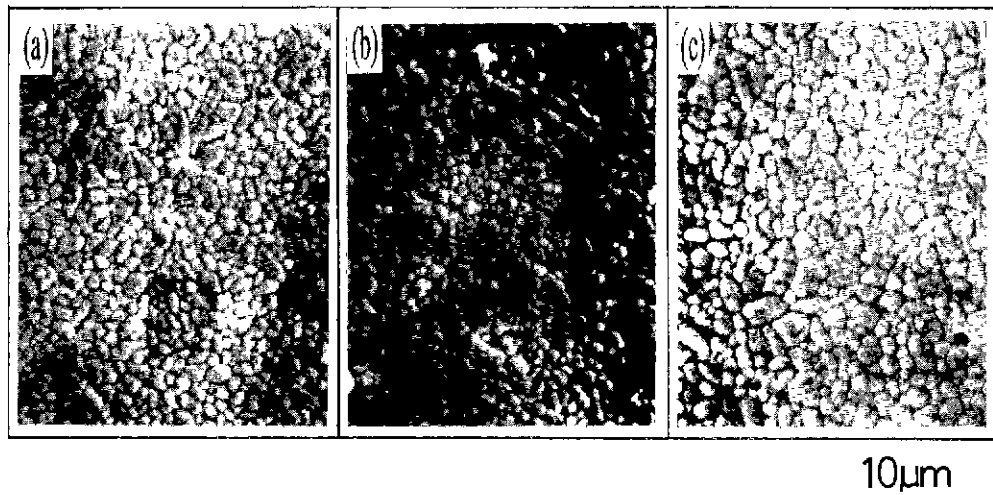


Fig. 8. SEM photographs of $\text{BaO}\cdot(\text{Nd}_{1-x}\text{Sm}_x)_{2}\text{O}_3\cdot4\text{TiO}_2$ sintered at 1390°C for 2 h.
(a) $x=0$, (b) $x=0.5$, (c) $x=1.0$

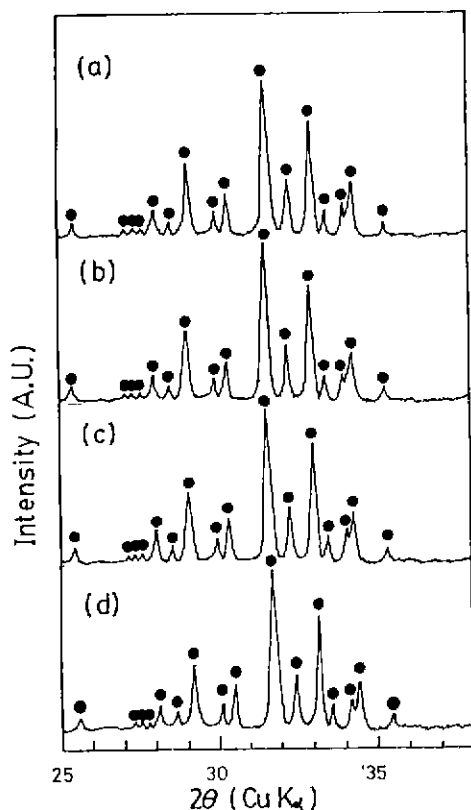
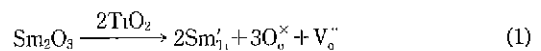
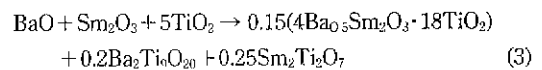
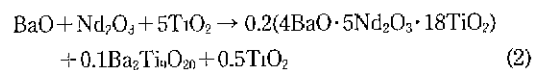


Fig. 9. Powder XRD patterns of $\text{BaO}\cdot(\text{Nd}_{1-x}\text{Sm}_x)_{2}\text{O}_3\cdot4\text{TiO}_2$ with (a) $X=0$, (b) $X=0.3$, (c) $X=0.7$ and (d) $X=1.0$, sintered at 1390°C for 2 h.
●: $\text{BaO}\cdot(\text{Nd}_{1-x}\text{Sm}_x)_{2}\text{O}_3\cdot4\text{TiO}_2$

이 경우 예상되는 전하증성 조건은



과 같이 표현되어 다량의 산소공공이 생성되므로 이 계가 마이크로파 영역에서 갖는 3,000 전후의 높은 Q값을 설명할 수 없으며, 이온반경을 고려할 때 보다 가능성성이 큰 Sm의 Ba자리에의 치환의 경우에도 Ti^{+3} 과 같은 가수변화에 의한 전하증성조건이 만족되어야 하므로 역시 높은 Q값을 설명할 수 없다. 결과적으로 이들의 제시한 1 : 1.25 : 4.5 조성의 상은 드립된 한 안정상으로 존재할 가능성이 큰 것으로 사료되는데 아래 예상되는 반응식은 $\text{Ln}=\text{Nd}, \text{Sm}$ 의 경우에 각각 다음과 같다.



한편 동일 조성의 계($\text{Ln}=\text{Nd}$)에서 1 : 1 : 4 조성의 사방정상이 기지상으로 존재하며 TiO_2 만 이차상으로 나타난다고 한 Takahashi 등의 결과는 본 실험에서의 $\text{Ba}_2\text{Ti}_9\text{O}_{20}$ 의 생성을 설명하지 못하는데 이러한 양자의 차는 분체합성시의 반응의 경로차에 의한 것으로 판단된다.

Fig. 8과 9에 각각 1390°C 로 2시간 소결한 $\text{BaO}\cdot(\text{Nd}_{1-x}\text{Sm}_x)_{2}\text{O}_3\cdot4\text{TiO}_2$ 조성($0 \leq x \leq 1$)의 소결체의 미세구조와 분말 XRD 회절분석의 결과를 나타내었다. 전 조성영역에

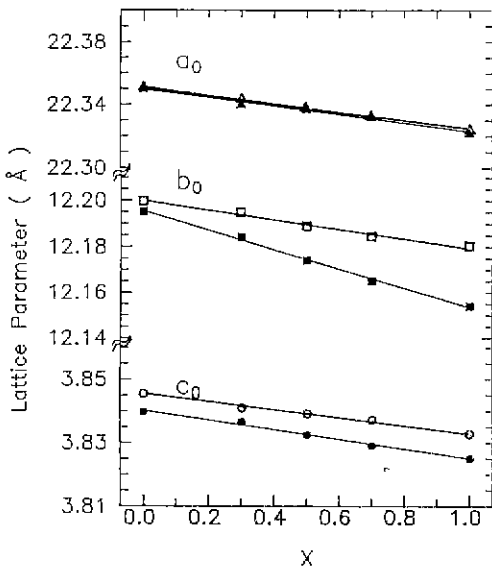


Fig. 10. Changes in lattice parameters a_0 , b_0 and c_0 of orthorhombic phases formed in the systems $\text{BaO} \cdot (\text{Nd}_{1-x}\text{Sm}_x)_2\text{O}_3 \cdot n\text{TiO}_2$ with Nd/Sm ratio.
▲ ■ ● $n=5$ and △ □ ○ $n=4$

걸쳐 동일한 형상을 갖는 2~3 μm 전후의 결정립군이 관찰되었으며 1:1:5 조성에서와 같은 이차상은 확인되지 않았다. XRD 회절 또한 사방정의 단일패턴만을 나타내며 그 변간격과 피크강도가 Takahashi 등⁷⁾의 보고와 잘 일치하여 1:1:4 조성의 계는 Nd/Sm비에 관계없이 사방정의 단일상을 형성함을 알 수 있었다.

Fig. 10에 각각 1350°C 및 1390°C로 2시간 소결한 1:1:5와 1:1:4 조성의 $\text{BaO} \cdot (\text{Nd}_1-x\text{Sm}_x)_2\text{O}_3 \cdot \text{TiO}_2$ 소결체에 존재하는 사방정의 격자상수를 정밀측정한 결과를 나타내었다. 두 계에서 $\text{Ln}=\text{Nd}$ 인 경우의 격자상수는 1:1:5의 경우 $a_0=22.350[\text{\AA}]$, $b_0=12.195[\text{\AA}]$, $c_0=3.840[\text{\AA}]$ 으로 안정상이라 보고된 기존의 $\text{BaNd}_2\text{Ti}_5\text{O}_{14}$ (JCPDS NO 33-166)의 그것과 측정오차내에서 일치하였으며, 1:1:4의 경우 $a_0=22.350[\text{\AA}]$, $b_0=12.201[\text{\AA}]$, $c_0=3.846[\text{\AA}]$ 으로 1:1:5의 그것과는 상이하였다. Takahashi 등⁷⁾의 1:1:4의 그것과는 잘 일치하였다. 두 계 모두에서 Sm의 치환량이 증가함에 따라 a_0 , b_0 , c_0 모두 직선적인 완만한 감소를 나타내었는데 이는 Sm^{3+} 의 이온 반경(1.00 Å)이 Nd^{3+} 의 그것(1.04 Å)보다 작은 것에 기인한 것으로 판단된다. 또한 두 계 모두에서 a_0 값은 Nd/Sm비가 동일할 경우 동일하였으나 b_0 와 c_0 는 1:1:4의 그것이 큼을 알 수 있다. 만약 1:1:5와 1:1:4 조성의 계에서 생성되는 사방정의 $\text{BaO} \cdot \text{Ln}_2\text{O}_3 \cdot \text{TiO}_2$ 의

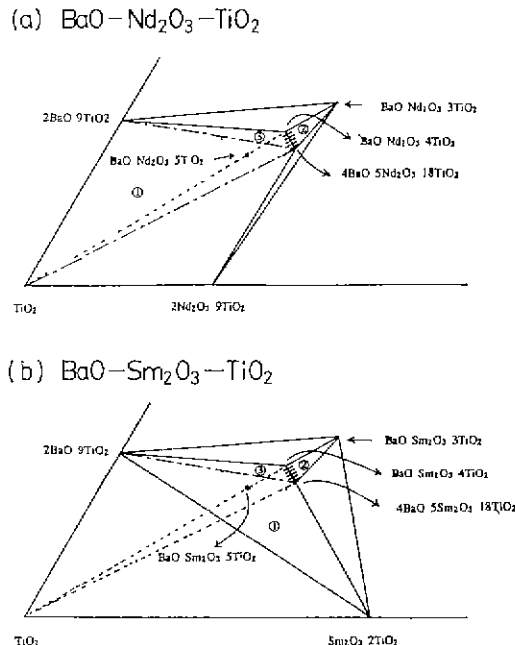


Fig. 11. Partial subsolidus phase equilibria in the system $\text{BaO} \cdot \text{Ln}_2\text{O}_3 \cdot \text{TiO}_2$ ((a) $\text{Ln}=\text{Nd}$, (b) $\text{Ln}=\text{Sm}$) satisfying the phase relations of the present study. Dotted lines and hatched lines imply phase incompatibility and solid solution, respectively.

비가 동일하다면 설령 생성되는 아차상의 분율이 X 값에 의존하더라도 X 축 상으로의 평행이동에 의해 격자상수가 일치하는 점이 얻어져야 하나, a_0 값이 X 에 의해 결정되므로 이러한 일치점은 나타나지 않음을 알 수 있다. 결론적으로 $\text{BaO} \cdot \text{Ln}_2\text{O}_3 \cdot \text{TiO}_2$ 의 몰비가 1:1:5인 계에서 생성되는 사방정상은 1:1:4인 계의 단일 사방정상과 구별되며 이때 생성반응을 식 (2), (3)과 같이 가정하면 $\text{BaO} \cdot \text{Ln}_2\text{O}_3 \cdot (\text{Ln}=\text{Nd}, \text{Sm}) \cdot \text{TiO}_2$ 3성분계 또는 4성분계에서는 $\text{BaO} \cdot \text{Ln}_2\text{O}_3 \cdot 4\text{TiO}_2$ 와 $4\text{BaO} \cdot 5\text{Ln}_2\text{O}_3 \cdot 18\text{TiO}_2$ 가 각각 상은 안정상으로 존재하는 것으로 추론된다. 그러나 열역학적으로 볼 때 동일 계에서 매우 근접한 두 조성이 구별된 동일구조의 안정상을 이를 가능성을 희박하므로 그 개연성에 대하여는 보다 면밀한 연구와 검토가 있어야 할 것으로 사료된다.

Fig. 11에 상기의 연구결과와 고찰을 토대로 $\text{BaO} \cdot \text{Ln}_2\text{O}_3 \cdot \text{TiO}_2$ 계에서 조성 1:1:4~5인 영역을 포함하는 부분적인 상은 상형관계를 나타내었다. $\text{Ln}=\text{Nd}$ ((a))의 경우 TiO_2 와 $\text{BaNd}_2\text{Ti}_4\text{O}_{12}$ 는 공존하지 않는 상이므로 이를 등을비로 혼합, 가열할 경우 $\text{Ba}_2\text{Ti}_9\text{O}_{20}$ 이 석출되어 Ba_2Ti_9

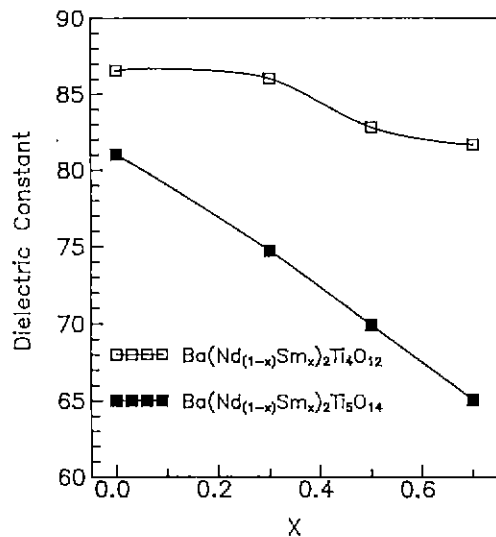


Fig. 12. Changes in dielectric constant at 4 GHz of the system $\text{BaO}\cdot(\text{Nd}_{1-x}\text{Sm}_x)_2\text{O}_3\cdot n\text{TiO}_2$ with Nd/Sm ratio.

■ n=5, □ n=4

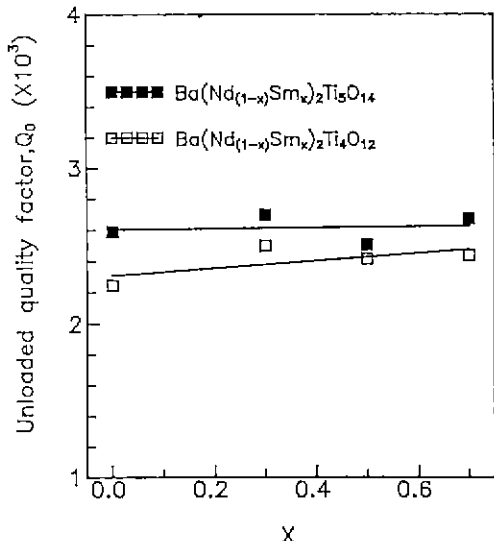


Fig. 13. Changes in unloaded $Q(Q_0)$ at 4 GHz of the system $\text{BaO}\cdot(\text{Nd}_{1-x}\text{Sm}_x)_2\text{O}_3\cdot n\text{TiO}_2$ with Nd/Sm ratio.

■ n=5, □ n=4

$\text{O}_{20}\cdot\text{TiO}_2\cdot 4\text{BaO}\cdot 5\text{Nd}_2\text{O}_3\cdot 18\text{TiO}_2$ 의 공존 삼각형 내에 위치한다. 한편 $\text{Ln}=\text{Sm}((\text{b}))$ 의 경우 TiO_2 와 $\text{BaSm}_2\text{Ti}_4\text{O}_{12}$ 을 등몰비로 혼합, 가열하면 역시 마찬가지 이유로 $\text{Ba}_2\text{Ti}_9\text{O}_{20}$ 과 $\text{Sm}_2\text{Ti}_2\text{O}_5$ 이 석출되어 $\text{Ba}_2\text{Ti}_9\text{O}_{20}\cdot\text{Sm}_2\text{Ti}_2\text{O}_7\cdot 4\text{BaO}\cdot 5\text{Sm}_2\text{O}_3\cdot 18\text{TiO}_2$ 의 공존삼각형자형을 이루게 된다. 두경우 모두에 있어서 $4\text{BaO}\cdot 5\text{Ln}_2\text{O}_3\cdot 18\text{TiO}_2$ 와 $\text{BaO}\cdot \text{Ln}_2\text{O}_3\cdot 4\text{TiO}_2$ 는 동일 결정구조로 양자가 완전 고용영역을 형성한다. 1:1:5 조성의 소결시편을 1400°C 이상으로 가열하여 부조화 용융(incongruent melting)시킨 후 서냉하여 상관계를 조사한 결과 용융전과 동일한 상관계가 얻어짐을 확인하였고 따라서 그림에 제시한 상관계는 평형상태의 결과로 간주할 수 있었다.

3.3. 유전특성

Fig. 12에 각각 1350°C 와 1390°C 로 2시간 소결한 $\text{BaO}\cdot(\text{Nd}_{1-x}\text{Sm}_x)_2\text{O}_3\cdot 5\text{TiO}_2$ 와 $\text{BaO}\cdot(\text{Nd}_{1-x}\text{Sm}_x)_2\text{O}_3\cdot 4\text{TiO}_2$ 의 유전상수를 4 GHz 부근에서 측정한 결과를 나타내었다. 두조성 모두에서 Sm의 치환량에 증가함에 따라 유전상수는 감소하며 그 폭은 1:1:5의 경우가 상대적으로 커다. Sm의 원자번호 62는 Nd의 60보다 큰 반면 이온반경 1.00[Å]은 Nd의 1.04[Å]보다 조금 작아 전체적인 전자분극의 차는 미미할 것으로 판단되며, 따라서 Sm의 증가에 따른 유전율의 감소는 Fig. 10에 나타난 격자상수 감소에 의한 이온분극의 감소에 기인한 것으로 사료된다. 이러한 관점은 Sm의 증가에 따른 b_0 와 c_0 의 감소폭이 상대적으로 큰 1:1:5인 계의 유전율 감소폭이 1:1:4의 그것보다 크다는 사실로 뒷받침된다.

Fig. 13에는 각 소결체의 무부하 $Q(Q_0)$ 를 나타내었다.

Table 1. Temperature Coefficients [ppm/°C] of Linear Expansion (α_1) Resonant Frequency (TC_f) and TC_{fm}) and Dielectric Constant (TC_ϵ) of $\text{BaO}\cdot(\text{Nd}_{1-x}\text{Sm}_x)_2\text{O}_3\cdot\text{TiO}_2$ Ceramics

X	$\text{BaO}\cdot(\text{Nd}_{1-x}\text{Sm}_x)_2\text{O}_3\cdot 5\text{TiO}_2$				$\text{BaO}\cdot(\text{Nd}_{1-x}\text{Sm}_x)_2\text{O}_3\cdot 4\text{TiO}_2$		
	TC_f	α_1	TC_ϵ	TC_{fm}	TC_f	α_1	TC_ϵ
0.0	91.2	12.7	-157	85.9	97.9	14.6	-166.6
0.3	17.2	14.1	-6.2	2.4	20.4	15.6	-9.6
0.5	10.1	15.5	10.8	-5.1	34.3	14.2	-40.1
0.7	-18.9	13.9	65.5	-33.4	18.6	15.4	-6.4

Sm의 치환량 증가에 따른 Q_0 의 변화는 관찰되지 않으며, 선반적으로 1:1:5 조성이 2,600 전후로서 1:1:4조성의 2,400 전후보다 다소 커다. 조성비에 따른 이러한 차는 ZST, BZT와 같이 10,000 이상의 높은 Q값을 갖는 유전체의 손실이 주로 phonon scattering에 지배되는 것과는 달리 고유전율($\epsilon_r > 70$)을 갖는 BaO-Ln₂O₃-TiO₂계 유전체의 손실이 계면의 쌍극자 및 공간전하의 이완(relaxation)에 의존한다는 기준의 보고¹⁰와 상반되는 듯하나 1:1:5의 석출상인 TiO₂와 Ba₂Ti₉O₂₀의 Q_0 가 각각 14, 600(3 GHz), 8,000(7 GHz)으로 높기 때문에 이러한 완화 손실을 보상한 것으로 사료된다.

Table 1에 각 유선체 시편의 공진주파수 온도계수 (TC_f), 선 열팽창 계수(α_l) 및 이로부터 계산한 유전율 온도계수(TC_e)를 나타내었다. 또한 TC_f 가 대수 혼합법칙에 따른다고 가정하여 미세 구조상에서 추정한 이차상의 체적분율과 공진주파수 온도계수를 이용하여 계산한 1:1:5 조성에서의 기지상(4:5:18)의 공진주파수 온도계수(TC_{m1})를 나타내었다. 1:1:5의 경우 TC_f 는 $X=0$ 에서의 91[ppm/°C]에서 Sm의 치환량이 증가할수록 감소하여 $X=0.7$ 에서 음의 값을 나타내었다. 이러한 경향은 1:1:4에서도 확인되나 그 변화폭은 상대적으로 완만하다. 한편 TC_e 는 각각 1:1:5 및 1:1:4의 $X=0$ 에서의 -157[ppm/°C] 및 -167[ppm/°C]로부터 Sm의 치환량이 증가함에 따라 양의 값 쪽으로 변화함을 볼 수 있다. 이러한 경향은 Bolton 등이 BaO-Ln₂O₃-TiO₂계에서 희토류 원소의 이온반경이 감소함에 따라 TC_e 가 증가한다고 보고한 것과 일치한다¹¹. 이러한 사실은 이온분극의 온도의존성이 양의 값을 가짐을 시사하는 것이다¹². 결과적으로 계의 조성을 BaO-(Nd_{1-x}Sm_x)₂O₃-5TiO₂로 하고 X를 0.5와 0.7 사이의 값으로 취하면 TC_f 가 0인 마이크로파 공진기용 유전체의 제조가 가능함을 알 수 있다.

4. 결 론

BaO-(Nd_{1-x}Sm_x)₂O₃-5TiO₂ 및 BaO(Nd_{1-x}Sm_x)₂O₃-4TiO₂계에서의 상관계 및 마이크로파 유전특성을 조사한 결과 다음과 같은 결론을 얻었다.

(1) BaO-(Nd_{1-x}Sm_x)₂O₃-5TiO₂계의 고장반응은 중간상 BaTi₄O₉과 (NdSm)₂Ti₂O₇의 생성반응이 일어나고, 이들 간의 반응에 의해 사방정의 BaO-(Nd, Sm)₂O₇-TiO₂ 화합물이 생성된다. BaO-(Nd_{1-x}Sm_x)₂O₃-4TiO₂계의 반응경로도 이와 거의 동일하나 Ba₂Ti₉O₂₀이 중간상으로 존재하였다.

(2) BaO-(Nd_{1-x}Sm_x)₂O₃-5TiO₂계 소결체는 전 조성법 위에 걸쳐 세 개의 상이 상온 안정상으로 존재하는데 이차상으로서 0≤X≤0.7에서는 TiO₂와 Ba₂Ti₉O₂₀가, X=1.0에서는 Ba₂Ti₉O₂₀과 Sm₂Ti₂O₇이 생성되며 이때 주상으로 사방정의 4BaO-5(Nd_{1-x}Sm_x)₂O₃-18TiO₂가 생성되어 이들이 각각 상온 공존삼각형을 이루는 것으로 판명된다. 한편 BaO-(Nd_{1-x}Sm_x)₂O₃-4TiO₂계는 전 조성법 위에 걸쳐 사방정의 단상이 형성되었다. 이로부터 조성비가 4:5:18과 1:1:4인 두 사방정상이 BaO-Ln₂O₃-TiO₂ 상태도상에서 고용영역을 형성하는 것으로 추정되었다.

(3) Nd에 Sm을 치환함으로써 계의 유전율과 공진주파수 온도계수의 조절이 가능하였다. 즉 Sm의 치환량이 증가함에 따라 유전율은 감소하고 공진주파수 온도계수는 음의 값을 이동하였다.

감사의 글

본 연구는 93년도 교육부 신소재분야 연구지원에 의하여 이루어졌으며 이에 감사드립니다.

REFERENCES

1. K. Wakino, K. Minai and H. Tamura, "Microwave Characteristics of (Zr, Sn)TiO₂ and BaO-PbO-Nd₂O₃-TiO₂ Dielectric Resonators," *J Am Ceram. Soc.*, **67**(4), 278-281 (1984).
2. S. Nishigaki, H. Kato, S. Yano and R. Kamimura, "Microwave Dielectric Properties of (Ba, Sr)O-Sm₂O₃-TiO₂ Ceramics," *Am. Ceram. Soc. Bull.*, **66**(9), 1405-1410 (1987)
3. J.D. Mercurio, M. Manier and B. Frit, "Microwave Dielectric Properties BaNd_{2(1-x)}Sm_{2x}Ti₅O₁₄ Ceramics," *Mater. Lett.*, **8**(3,4), 112-113 (1989).
4. W. Wersing, "High Frequency Ceramic Dielectrics and Their Application for Microwave Components," *Electronic Ceramics*, Ed by B.C. Steele, Elsevier Science Publ Co., NY 67-119 (1991).
5. D. Kolar, S. Gaberscek and B. Volavsek, "Synthesis and Crystal Chemistry of BaNd₂Ti₃O₁₀, BaNd₂Ti₅O₁₄ and Nd₂Ti₆O₂₄," *J. Solid State Chem.*, **38**, 158-164 (1981).
6. T. Jaakola, J. Mottonen, A. Uusimaki, R. Rautioaho and S. Leppavuori, "Preparation of Nd-doped Ba₂Ti₉O₂₀ Ceramics for use in Microwave Applications," *Ceram. Int.*, **13**, 151-157 (1987).
7. J. Takahashi and T. Ikegami, "Occurrence of Dielectric

- 1:1:4 Compound in the Ternary System BaO-Ln₂O₃-TiO₂ (Ln=La, Nd, and Sm): II, Reexamination of Formation of Isostructural Ternary Compounds in Identical Systems," *J. Am. Ceram. Soc.*, **74**(8), 1873-1879 (1991).
8. B.D. Cullity, "Elements of X-Ray Diffraction," 2nd Ed., Addison-Wesley Publ. Co. (1978).
9. B.W. Hakki and P.D. Coleman, "A Dielectric Resonator Method of Measuring Inductive Capacities in the Millimeter Range," *IRE Trans. on Microwave Theory Tech.*, MTT-8, 402-410 (1960).
10. J. Takahashi, K. Kageyama and T. Hayashi, "Dielectric Properties of Double-Oxide Ceramics in the System Ln₂O₃-TiO₂ (Ln=La, Nd, and Sm)," *Jpn. J. Appl. Phys.*, **30**(9B), 2354-2358 (1991).
11. A. Yamada, Y. Utsumi and H. Watari, "The Effect of Mn Addition on Dielectric Properties and Microstructure of BaO-Nd₂O₃-TiO₂ Ceramics," *Jpn. J. Appl. Phys.*, **30**(9B), 2350-2353 (1991).
12. E.C. Subbarao, "Ferroelectrics and Superionic Conductors," *Science and Technology of Rare Earth Materials* (1980).